

СТАЦИОНАРНОЕ ВСПЛЫТИЕ ОДИНОЧНОГО ПУЗЫРЯ В НЕОГРАНИЧЕННОМ ОБЪЕМЕ ЖИДКОСТИ

П. К. Волков, Е. А. Чиннов

(Новосибирск)

Изучение движения одиночных газовых пузырей продолжается в течение длительного времени. Получены важные теоретические решения, и накоплено значительное количество экспериментальных результатов. В последние годы широкое распространение получили численные методы решения уравнений Навье — Стокса с неизвестной границей в применении к исследованию движения пузырей [1, 2].

В настоящей работе на основании найденных авторами численных решений полных уравнений Навье — Стокса и результатов эксперимента проанализировано одновременное влияние вязкости жидкости и сил поверхностного натяжения на скорость всплытия и форму одиночных пузырей, определены границы нарушения сферичности газовых полостей и образования вихрей в их кормовой части.

Рассматривается стационарное всплытие осесимметричного пузыря с границей Γ , постоянным объемом и давлением внутри него. Введем систему декартовых координат x_1, x_2, x_3 , связанную с центром пузыря. Ось x_3 направлена по скорости подъема газовой полости \mathbf{u} , \mathbf{n} — единичный вектор внешней нормали к Γ , τ — единичный вектор касательной к Γ . Движение вязкой жидкости вне замкнутой поверхности Γ описывается системой уравнений

$$(1) \quad (\mathbf{v}\nabla)\mathbf{v} + \nabla p/\rho = \nu\Delta\mathbf{v}, \quad \nabla\mathbf{v} = 0,$$

где p — модифицированная функция давления: $p = q + \rho g x_3 - p_0$; q — давление в жидкости; p_0 — давление на уровне $x_3 = 0$; g — ускорение силы тяжести; ρ — плотность жидкости; ν — коэффициент кинематической вязкости жидкости.

На свободной границе Γ выполняются условия:
непротекания

$$(2) \quad \mathbf{v} \cdot \mathbf{n} = 0;$$

равенства нулю касательных напряжений в жидкости

$$(3) \quad \tau \cdot T \cdot \mathbf{n} = 0;$$

равенства разности нормальных напряжений на поверхности пузыря капиллярному давлению σK

$$(4) \quad p - 2\rho v(\mathbf{n} \cdot T \cdot \mathbf{n}) + \sigma K = p_r - p_0 + g \rho x_3.$$

Здесь $T_{ij} = \frac{1}{2} \left(\frac{\partial v_i}{\partial x_j} + \frac{\partial v_j}{\partial x_i} \right)$ — тензор скоростей деформации; p_r — давление газа в пузыре; K — кривизна поверхности Γ ; σ — коэффициент поверхностного натяжения.

На бесконечности

$$(5) \quad \mathbf{v} = -\mathbf{u}.$$

Задача (1)–(5) решается численно в переменных вихрь ω — функция тока ϕ итерационным методом по схеме стабилизирующей поправки. Алгоритм ее решения подробно рассматривается в [1, 2]. В задаче (1)–(5) содержатся существенные для рассматриваемого процесса параметры: ρ , v , σ , g , R , $p_r - p_0$, u (R — радиус сферы, эквивалентной по объему пузырю).

Следует отметить, что решение зависит лишь от разности давлений $p_r - p_0$. Очевидно также, что нельзя произвольно задавать R и $p_r - p_0$ в данной жидкости, поскольку из (4) при $u = 0$ и $g = 0$ имеем сферический пузырь и

$$(6) \quad 2\sigma/R = p_r - p_0$$

для любых ρ и v . Из семи величин пять независимы, и, согласно теории размерностей, имеется два независимых безразмерных параметра. Так как выбор определяющих переменных в известной степени произволен, то при рассмотрении движения одиночных пузырей используются разные безразмерные критерии. Использование масштаба длины $L = \sigma/(\rho_f - \rho_0)$ (аналогично [1]) на первый взгляд избавляет нас от трудностей, связанных с тем, что в (1) входит градиент давления p . Однако при численном решении, поскольку в (4) входит функция p , которая вычисляется при интегрировании (1), приходим к необходимости ее однозначного определения. Это можно сделать следующим образом. Из (6) с учетом выбора L вытекает $R = 2L$ (что соответствует решению (4) при $We = 0$, $We = \rho Lu^2/\sigma$). Находим функцию тока, вихрь и восстанавливаем p из (1). Так как жидкость и пузырь находятся в равновесии, то интеграл от p по поверхности пузыря должен быть равен нулю. Это условие позволяет найти ρ_0 , а значит, функцию давления.

В [2] в качестве определяющих критериев используются Re^* ($Re^* = uL/v$) и We , в [3] — $Re = 2uR/v$, $E = 4\rho g R^2/\sigma$, а в [4] предложено применять критерии $M = \rho^3 v^4 g / \sigma^3$, R/R_0 ($R_0 = [\sigma v^2 / (\rho g)]^{1/5}$).

Выбор критериев для анализа движения пузырей зависит прежде всего от того, насколько удобно их применение для получения практически важной информации о процессе и насколько они позволяют сделать его описание более простым.

На практике, как правило, известны расходные характеристики процесса, в данном случае объем пузыря или его эквивалентный радиус R . Как оказалось [5—7], для описания движения газожидкостных систем удобно использовать характеристические масштабы: $\delta_v = (v^2/g)^{1/3}$ — постоянную вязкогравитационного взаимодействия и $\delta_\sigma = [\sigma/(\rho g)]^{0.5}$ — капиллярную постоянную. Если соотносить их с характерным размером задачи, можно получить информацию о том, насколько развито в данном процессе взаимодействие того или иного типа. Таким образом, имеем два определяющих критерия: $R_v = \frac{R}{\delta_v} = \left[\frac{(\rho v^2)(g \rho R)}{(v \rho u / R)^2} \right]^{1/3} = (Re/2Ps)^{1/3}$ показывает относительное влияние сил инерции жидкости, молекулярного трения, выталкивания и является своеобразным аналогом числа Рейнольдса для процессов, движение которых обусловлено силой Архимеда ($Ps = vu/gR^2$); $R_\sigma = \frac{R}{\delta_\sigma} = \left[\frac{\rho g R}{\sigma / R} \right] = \frac{1}{2} V \bar{E}$ характеризует относительное влияние подъемной силы и сил поверхностного натяжения. Важными свойствами этих критериев является то, что они не содержат скорости пузырей и что их отношение представляет комплекс, состоящий только из физических характеристик среды:

$$R_v/R_\sigma = \delta_v/\delta_\sigma = (\rho^3 v^4 g / \sigma^3)^{1/6} = M^{1/6}.$$

Указанные свойства существенно облегчают описание процесса. Так, на диаграмме с координатами R_v и R_σ линии постоянного значения M будут прямыми, а не кривыми, как на диаграмме из [3]. Скорость всплытия пузыря содержит только в определяемом критерии ($Fr = u^2/gR$), что позволяет получить информацию о ней непосредственно из диаграмм. В зависимости от размера и физических характеристик среды пузырь, всплывающий в жидкости, может принимать различную форму.

На рис. 1 представлены данные по всплытию одиночных пузырей на диаграмме с координатами R_v и R_σ . Здесь рассмотрены изменение формы пузырей и образование вихрей за ними в наиболее сложных и наименее изученных переходных областях, где существенно влияние всех определяющих параметров. На диаграмме не указаны области пузырей с плёнкой газа в виде «юбочки» и открытым следом [8]. Цифрой I обозначена область, в которой всплывающий пузырь имеет сферическую форму. Основной характеристикой, задающей границу этой области, является степень деформации пузыря $e = (a - b)/a$ (a — горизонтальный, b —

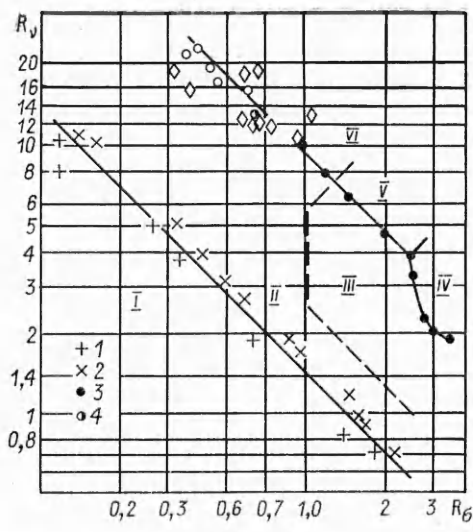


Рис. 1

щенный осесимметричный эллипсоид (рис. 2, а, $R_v = 1,14$, $R_\sigma = 1,67$). При $R_\sigma \geq 1$, $M \geq 3 \cdot 10^{-5}$, $R_v R_\sigma \geq 2,5$ (область III, рис. 1) происходит нарушение симметрии всплывающего пузыря относительно горизонтальной оси. Штриховая линия, построенная на основании полученных данных, указывает на нарушение симметрии пузыря в 3 %. Характерный вид формы пузыря, удовлетворяющего указанным условиям, приведен на рис. 2, б ($R_v = 1,5$, $R_\sigma = 2,15$). Область III переходная к области IV сплющенных эллипсоидальных пузырей, которая подробно рассмотрена в [8]. В области III влияние сил поверхностного натяжения начинает ослабевать ($R_\sigma \geq 1$), но механизм всплытия пузырей с определяющим влиянием сил вязкости [8] еще не в полной мере сформирован.

На рис. 1 представлены результаты численного решения задачи (1)–(5) (точки 3), в которых зарегистрировано возникновение вихря в кормовой части пузыря. Некоторые из них изображены на рис. 3. При $R_\sigma = 3,0$, $R_v = 2,1$ (рис. 3, а) вихрь образуется в нижней части уже существующего пузыря.

его вертикальный размер). На диаграмме приведены данные численного решения задачи (1)–(5) и экспериментов (точки 1), которые указывают на деформацию пузырей в 0,5 % ($e = 0,005$). Нарушением сферичности будем считать степень деформации пузырей выше 1 %. На диаграмме показаны численные и опытные результаты, отвечающие значению e в 2–3 % (точки 2). Сплошная линия, отделяющая область I, определяется выражением $R_v R_\sigma = 1,4$.

Деформированные пузыри могут принимать различный вид. Форма пузырей, всплывающих в воде и других маловязких жидкостях, близка к эллипсоиду вращения [9, 10]. В более вязких средах форма пузырей напоминает сплющеный осесимметричный эллипсоид (рис. 2, а, $R_v = 1,14$, $R_\sigma = 1,67$).

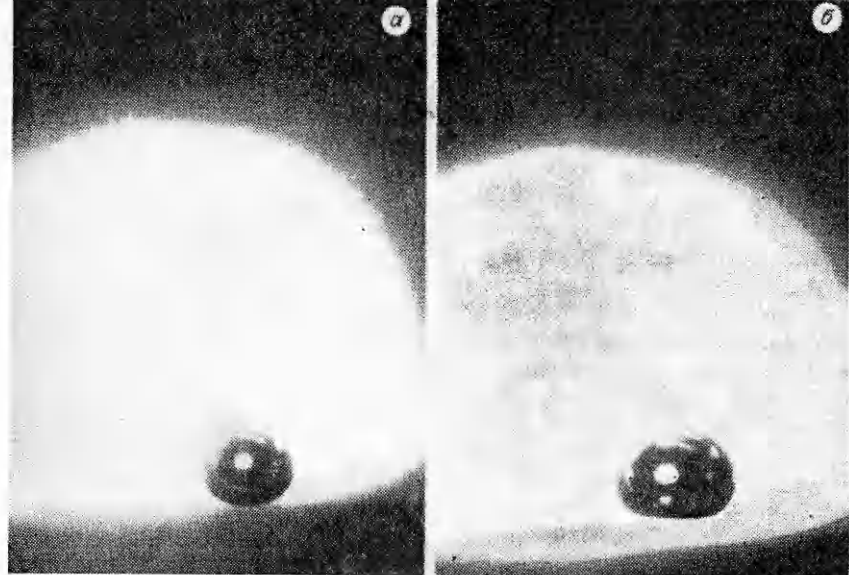


Рис. 2

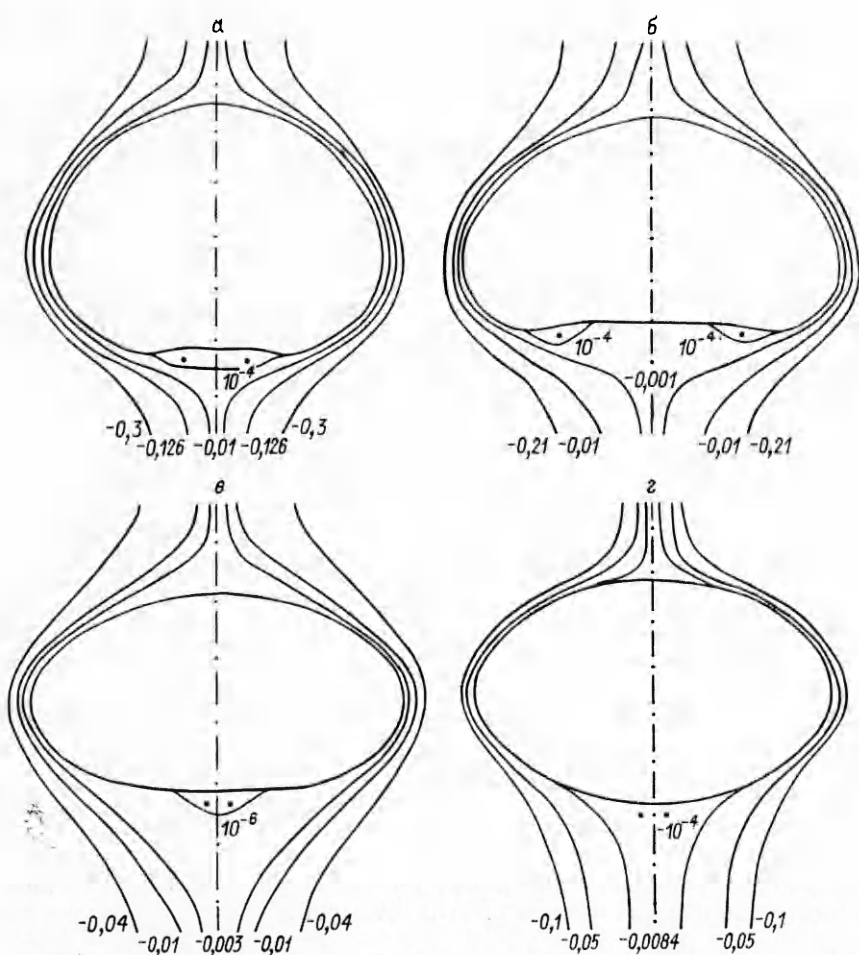


Рис. 3

венно несимметричного относительно горизонтальной оси пузыря. В этом случае форма пузыря ближе к сфере, чем к сплющенному эллипсоиду. Кривая, соответствующая началу вихреобразования при $R_\sigma \geq 2,5$, как бы повторяет штриховую линию, указывающую на возникновение нарушения симметрии пузыря. Это обстоятельство показывает, что в данном случае начало вихреобразования за пузырем значительно зависит от степени его асимметричности.

При $R_\sigma < 2,5$ данные численного решения, в которых за пузырем возникает вихрь, отвечают на рис. 1 сплошной линии $R_v R_\sigma = 9$. Как видно из рис. 3, б — г ($R_v = 3,9; 6,3; 13,3$ и $R_\sigma = 2,4; 1,4; 0,64$ соответственно), пузыри здесь более сплющены. Причем при $M < 3 \cdot 10^{-5}$ форма пузырей симметрична относительно горизонтальной оси (г).

Если на рис. 3, а и в представлены расчетные формы пузырей с вихрем, образующимся в их нижней части около вертикальной оси симметрии, то из рис. 3, б, отвечающего точке излома сплошной кривой, видно, что вихрь образуется ближе к краям пузыря. Таким образом, качественно можно выделить три типа вихреобразования за пузырем и соответствующие им области IV—VI. В областях IV и V движение пузырей прямо-линейно, а их форма несимметрична относительно горизонтальной оси. На границе области VI форма пузыря симметрична. На рис. 3, г показан результат численного расчета обтекания пузыря перед возникновением вихря в его корме (на рис. 1 точка 4). При расчете такого пузыря количество итераций резко возрастало по сравнению с расчетом пузырей с меньшими значениями R_v и R_σ . Далее этой точки продвинутся вообще

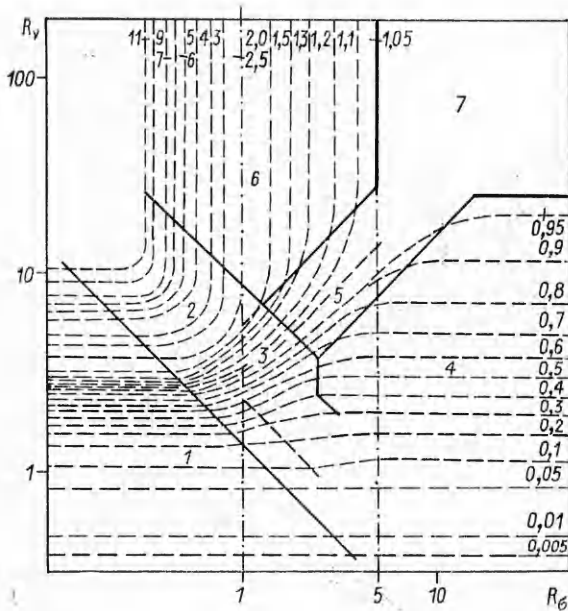


Рис. 4

не удалось, так как при дальнейшем увеличении R_0 при расчете не происходило установления стационарного режима. Этот эффект, по-видимому, связан с тем, что образование вихря в корме пузыря приводит к его отторжению и потере устойчивости прямолинейного движения. На рис. 1 представлены опытные данные из [11], указывающие на начало непрямолинейного движения пузырей (точки 5), а также собственные опытные результаты (точки 6), соответствующие их движению по спирали.

Одновременное влияние критериев R_v и R_0 на безразмерную скорость

пузыря (число Фруда) показано на рис. 4, где наряду с собственными данными использованы результаты [12–15]. Обозначение режимов всплытия пузырей отвечает рис. 1, штриховые кривые — постоянные значения Fr . В предельных случаях автомодельности по одному или двум определяющим параметрам (области I, IV, VI, VII) закономерность всплытия пузырей описывается известными зависимостями. В переходных областях II, III, V, используя диаграмму рис. 4, можно оценить значения Fr , а следовательно, и скорость всплытия пузырей.

ЛИТЕРАТУРА

1. Волков П. К. Численное решenie задачи обтекания газового пузыря вязкой жидкостью // ЧММСС.— 1982.— Т. 13, № 1.
2. Christov C. I., Volkov P. K. Numerical investigation of the steady viscous flow past a stationary deformable bubble // J. Fluid Mech.— 1985.— V. 158.— P. 341.
3. Grace I. R. Shape and velocities of bubbles rising in infinite liquids // Trans. Inst. Chem. Engrs.— 1973.— V. 51.— P. 116.
4. Воинов О. В., Петров А. Г. Движение пузырей в жидкости // Итоги науки и техники. Механика жидкости и газа.— 1976.— Т. 10.— С. 86.
5. Кутателадзе С. С. Анализ подобия в теплофизике.— Новосибирск: Наука, 1982.
6. Кутателадзе С. С., Маленков И. Г., Чиннов Е. А. Результаты экспериментального изучения влияния стенок вертикального капала на скорость всплытия одиночных пузырьков разного размера // Дисперсные системы в энергохимических процессах.— Новосибирск: ИТФ СО АН СССР, 1982.
7. Чиннов Е. А. Анализ всплытия одиночных пузырей в неограниченном объеме жидкости // Современные проблемы теплофизики.— Новосибирск: ИТФ СО АН СССР, 1984.
8. Bhaga D., Weber M. B. Bubbles in viscous liquids: shape, wakes and velocities // J. Fluid Mech.— 1981.— V. 105.— P. 61.
9. Moore D. W. The boundary layer on spherical gas bubbles // J. Fluid Mech.— 1963.— V. 16, N 7.
10. Haberman W. L., Morton R. K. An experimental study of bubbles moving in liquids // Proc. Amer. Soc. Civil Engrs.— 1954.— V. 49, N 387.
11. Tsuge H., Hibino S. The onset conditions of oscillatory motion of single gas bubbles rising in various liquids // J. Chem. Engng Jap.— 1977.— V. 10, N 1.
12. Мори, Хиджиката, Курияма. Экспериментальное исследование движения газового пузырька в ртути при наличии и в отсутствие магнитного поля // Тр. Амер. о-ва инж.-мех. Сер. С. Теплопередача.— 1977.— Т. 99, № 3.
13. Белов И. В., Еловиков Г. Н., Окулов Б. Е. Стационарная скорость всплытия одиночных пузырей в некоторых жидкостях // Тепло- и массообменные процессы в ваннах сталеплавильных агрегатов.— М., 1974.
14. Uno S., Kintner R. C. Effect wall proximity on the rate of rise of single air bubbles in quiescent liquid // AIChE J.— 1956.— V. 2, N 3.

15. Galderbank P. H., Johnson D. S. L., Loudon I. Mechanics and mass transfer of the single bubbles in free rise through some Newtonian and non-Newtonian liquids // Chem. Engng Sci.— 1970.— V. 25, N 2.

Поступила 27/X 1987 г.

УДК 532.517.3

О ВЫЧИСЛЕНИИ РАЗМЕРНОСТЕЙ АТТРАКТОРОВ ПО ЭКСПЕРИМЕНТАЛЬНЫМ ДАННЫМ

С. П. Лукашук, Г. Е. Фаликович, А. И. Черных

(Новосибирск)

В основе современного подхода к проблеме возникновения турбулентности лежит предположение о конечномерности явлений, определяющих развитие неустойчивостей. Экспериментальные данные по ламинарно-турбулентному переходу [1, 2] свидетельствуют в пользу этой точки зрения, хотя строгая математическая формулировка такого утверждения — теорема о центральном многообразии [3, 4] — доказана только для бифуркаций потери устойчивости стационарной точкой. В настоящее время имеются интуитивные аргументы [5], делающие правдоподобным существование конечного набора возбужденных степеней свободы, определяющих динамику системы на больших временах для более сложных режимов движения, чем предельный цикл.

В связи с этим представляет значительный интерес определение числа независимых переменных, однозначно описывающих потенциально бесконечномерное движение диссипативной сплошной среды, когда число степеней свободы, реально вовлеченные в движение, заранее неизвестно. Задание необходимого числа таких переменных выполняет взаимно однозначное отображение фазового пространства асимптотического режима движения в евклидово пространство, размерность которого будем называть размерностью вложения.

В настоящей работе предлагается прямой способ определения размерности вложения непосредственно из экспериментальных данных, основанный на изучении функциональной зависимости между переменными. Наряду с размерностью вложения рассматриваются скейлинговые размерности [6, 7] и возможность их измерения в эксперименте. Затем экспериментальные данные, полученные при исследовании ламинарно-турбулентного перехода в круговом течении Куттта, анализируются с точки зрения размерностей.

1. Размерность вложения. Пусть для некоторой диссипативной динамической системы измеряется зависимость от времени большого числа различных величин $x_i(t)$, $i = 1, \dots, N$. Если движение конечномерно, число независимых переменных равно n_e и первые n_e из измеренных x_i взаимно однозначно связаны с фазовыми координатами аттрактора, то всякая измеряемая величина x_k при $k > n_e$ является функцией (вообще говоря, неизвестной) фазовых переменных x_1, \dots, x_{n_e} и ее эволюция со временем функционально представима через зависимость от времени фазовых координат: $x_k(t) = f_k(x_1(t), \dots, x_{n_e}(t))$. Если для всякого k проверять наличие или отсутствие функциональной зависимости $x_{k+1}(t)$ от предыдущих k измеряемых величин $x_1(t), \dots, x_k(t)$, то ясно, что функциональная зависимость первый раз появится при $k = n_e$, поскольку сами фазовые переменные функционально независимы. Если движение бесконечномерно, то возникновение такой функциональной зависимости невозможно ни при каком k .

Геометрически функциональная зависимость изображается гладкой поверхностью в $(k + 1)$ -мерном пространстве. Если x_i^0 — точка, через которую проходит фазовая кривая в момент времени t_0 , то при движении на аттракторе за бесконечно большие времена фазовая кривая будет возвращаться сколь угодно близко к ней. Введем k -мерную евклидову метрику $\rho_k(t, t_0) = \left[\sum_{i=1}^k (x_i(t) - x_i^0)^2 \right]^{1/2}$. Возьмем сферу радиуса ε с центром в точке x_i^0 . Пусть $d(\varepsilon)$ — наибольшее значение $d(t, t_0) = |x_{k+1}(t) - x_{k+1}^0|$ для всех точек фазовой кривой, попавших внутрь этой сферы за бесконечное время. Тогда при наличии гладкой функциональной зависимости при малых ε будут получаться малые $d(\varepsilon)$ и должна существовать константа C такая, что выполняется условие $d(\varepsilon) < C\varepsilon$. Если функциональной зависимости нет, то $x_{k+1}(t)$ принимает значения, не зависящие от $x_i(t)$